

关于 Pb^{208} 附近原子核的 γ 跃迁 (I)

—— $E2$ 和 $E3$ 跃迁*

梁春田 · 胡堂视 陈晓天 余友文 于 敏

(中国科学院原子能研究所)

提 要

本文用组态混合及原子核表面振动计算了 Pb^{208} 附近原子核的一些 $E2$, $E3$ 跃迁。在选用的参数为 $C_2 = 1000$ Mev, $C_3 = 350$ Mev, $\hbar\omega_3 = 2.6$ Mev, $\hbar\omega_2 = 5$ Mev 的情况下,除 Pb^{206} 中二个 $E3$ 跃迁外,其他都得到了理论与实验相符合的结果。结果说明了组态混合主要是由剩余相互作用力引起的,而表面振动硬度和频率决定了 $E2$, $E3$ 跃迁几率。

§ 1. 引 言

由壳模型力学基础的理论^[1],我们知道:多粒子组态能级间的跃迁问题可以归之为单粒子从一个组态到另一个组态的跃迁问题;还指出:在计算单个粒子跃迁几率的时候,我们应该用“物理核子”的波函数而不应该用“光秃秃核子”的壳模型波函数,很需要在事实中检验上述观点。本文就是在这方面一系列工作的一个初步尝试。在本文中,我们选用了组态混合的波函数,定量计算 Pb^{208} 附近原子核的一些 γ 跃迁的跃迁几率,看一看它们与实验符合的程度,从中也许会得到一些启示:壳模型理论用到重原子核上究竟怎样,这就是我们作这个工作的第一个目的。

不久以前,我们曾研究过 Pb^{208} 附近一些原子核的能谱^[2, 3, 4],理论与实验比较,从能量、自旋和宇称上都相当令人满意,对于不少在理论上存在而实验上没有观察到的能级,大部分已在那些文章中作了定性的解释。在这儿,我们对一些定性上难以解释和肯定的能级,从跃迁几率上作了定量的计算,试图说明这些能级为什么没有被观察到,这就是我们工作的第二个目的。

我们工作的第三个目的是:要看一看核表面振动在 Pb^{208} 附近原子核所占的地位如何。由于我们所考虑的一些跃迁差不多都是中子的 $E2$ 和 $E3$ 跃迁,我们知道对这些跃迁假若仅仅采用单粒子跃迁的观点是无法得到解释的,因之,必须考虑核表面振动所引起的集体跃迁。工作的结果说明,这种效应在 Pb^{208} 附近的 $E2$ 和 $E3$ 跃迁中起着决定性作用。同时,我们对于核表面硬度参数 C 也得到了一些知识。

总的说来,我们获得的结果是良好的,相互间亦没有什么矛盾。关于 $M1$ 跃迁由另一篇文章给出,本文仅限于对 $E2$ 和 $E3$ 跃迁的讨论;在 § 2 中,我们对跃迁几率的一般公式

* 1959年11月17日收到。

作了一个简单的介绍, 在 § 3 中, 对每一个跃迁讨论了跃迁几率的计算的细节, 并列举和分析了计算结果, 最后一节是简单的总结.

§ 2. 电跃迁几率的计算公式

根据 γ 跃迁的理论, 我们知道, 从初态 i 到末态 f 的 EL 跃迁几率^[1]是

$$T_{i \rightarrow f}(EL) = \frac{8\pi(L+1)}{L(2L+1)!!^2} \cdot \frac{1}{\hbar} \cdot \left(\frac{E_\gamma}{\hbar c}\right)^{2L+1} \cdot B(L), \quad (1)$$

$$\begin{aligned} B(L) &= \frac{1}{2I_i+1} \sum_{M_i} \sum_{M_f} \sum_{\mu} \left| \langle I_i M_i | \mathfrak{M}_E(L, \mu) | I_f M_f \rangle \right|^2 \\ &\equiv \frac{1}{2I_i+1} \sum_{M_i} \sum_{M_f} \sum_{\mu} |Q|^2 \end{aligned} \quad (2)$$

$\mathfrak{M}_E(L, \mu)$ 为极数是 L 的电跃迁算符:

$$\mathfrak{M}_E(L, \mu) = R_0^L \sum_k Y_{L\mu}(\theta_k \varphi_k) \left\{ e_k \left(\frac{\gamma_k}{R_0}\right)^L + \frac{3}{4\pi} z e \frac{K}{C_L} \cdot A(\alpha_{if} L) \right\}, \quad (3)$$

式中 I_i 和 I_f 分别为初态和末态的总角动量; M_i 和 M_f 分别为它们的 z 分量; E_γ 为从初态到末态的辐射能; \hbar 为蒲朗克常数; c 为光速; R_0 和 z 分别为原子核的平均半径和所带的正电荷数, $(\gamma_k, \theta_k \varphi_k)$ 为第 k 个核子的坐标; \sum_k 表示对满壳层外部的所有核子求和. 对于质子: $e_k = e$; 对于中子: $e_k = 0$. K 是核子与原子核表面间的相互作用常数; C_L 为原子核 L 阶表面振动硬度参数; $|I_i M_i\rangle$ 和 $|I_f M_f\rangle$ 分别为考虑了组态混合以后的初态和末态的总波函数. 根据微扰论,

$$\begin{aligned} |IM\rangle &= |\alpha_0 I, 00; IM\rangle + \sum_{\alpha_1 \neq \alpha_0} B(\alpha_1) \cdot |\alpha_1 I, 00; IM\rangle + \\ &+ \sum_{\alpha_2 J \lambda} \beta(\alpha_2 J \lambda) \cdot |\alpha_2 J, 1\lambda; IM\rangle + \sum_{\alpha_1 \neq \alpha_0} \gamma(\alpha_1) \cdot |\alpha_1 I, 00; IM\rangle + \dots, \end{aligned} \quad (4)$$

式中波函数 $|\alpha J, N\lambda; IM\rangle$ 中的 α 表示除 J 以外粒子部分的其他量子数; J 为粒子部分的角动量; N 为声子数; λ 为集体振动部分的总角动量; $\mathbf{I} = \mathbf{J} + \lambda \cdot B$, β 和 γ 为相应组态的混合系数. 我们用 $\beta(\alpha_2 J \lambda)$ 表示由于粒子和表面一次相互作用而引起的组态混合系数:

$$\beta(\alpha_2 J \lambda) = \frac{\langle \alpha_2 J, 1\lambda; IM | H_{\text{int}}(\lambda) | \alpha_0 I, 00; IM \rangle}{-[\hbar\omega_\lambda - (E_{\alpha_0 I} - E_{\alpha_2 J})]}. \quad (5)$$

我们用 $\gamma(\alpha_1)$ 表示粒子与表面二次相互作用, 即先产生一个角动量为 λ 的声子, 然后又消灭这个声子而引起的组态混合系数:

$$\begin{aligned} \gamma(\alpha_1) &= \sum_{\alpha_2 J} \frac{\langle \alpha_1 I, 00; IM | H_{\text{int}}(\lambda) | \alpha_2 J, 1\lambda; IM \rangle}{E_{\alpha_0 I} - E_{\alpha_2 J}} \times \\ &\times \frac{\langle \alpha_2 J, 1\lambda; IM | H_{\text{int}}(\lambda) | \alpha_0 I, 00; IM \rangle}{-[\hbar\omega_\lambda - (E_{\alpha_0 I} - E_{\alpha_2 J})]}, \end{aligned} \quad (6)$$

式中 $E_{\alpha J}$ 表示 $|\alpha J\rangle$ 态的能量, $H_{\text{int}}(\lambda)$ 代表核子和阶数为 λ 的核表面振动间的相互作用:

$$H_{\text{int}}(\lambda) = -K \sum_{k,\mu} \alpha_{k\mu} Y_{k\mu}(\theta_k \varphi_k), \quad (7)$$

其中 $\alpha_{k\mu}$ 为角动量是 λ 、分量是 μ 的核表面振动的集体坐标。

我們用 $B(\alpha_i)$ 表示由于粒子間的核力相互作用而引起的組态混合系数，在相距比較远的二个組态混合情况下，(4)式中的

$$B(\alpha_i) = \frac{\langle \alpha_i I, 00; IM | \sum_{k < j} V_{ki} | \alpha_0 I, 00; IM \rangle}{E_{\alpha_0 I} - E_{\alpha_i I}}. \quad (8)$$

但必須注意，在距离比較近的二組态混合下， B 不能再由(8)式决定，应由变分法求出。

應該強調的是：組态混合在我們的計算中占着重要地位，具体計算时，必須作全面的分析，务使沒有一个組态被遺漏。在 § 3 中，对于要算的每一个跃迁，可能混合进去的主要組态，我們都将一一給出。

由(4)式算出 $|I_i M_i\rangle$ 和 $|I_f M_f\rangle$ 之后，代入(2)式，矩陣元 Q 就可展为許多子矩陣元之和。(3)式 $\mathfrak{M}_E(L\mu)$ 中的第一部分是質子对跃迁几率所生的貢獻，第二部分是核表面振动对跃迁几率的貢獻； $A_{(aifL)}$ 是一个无量綱的数，对于不同的子矩陣元，它的表达式可能不同，例如对子矩陣元 $\langle \alpha_{0i} I_i, 00; I_i M_i | \frac{3}{4\pi} z e \frac{K}{C_L} \cdot A_{(aifL)} \sum_k Y_{L\mu}(\theta_k \varphi_k) | \alpha_{0f} I_f, 00; I_f M_f \rangle$,

$$A_{(aifL)} = \frac{(\hbar\omega_L)^2}{(\hbar\omega_L)^2 - (E_{\alpha_{0f}} - E_{\alpha_{0i}})^2}; \quad (9)$$

对子矩陣元 $B(\alpha_{if}) \cdot \langle \alpha_{0i} I_i, 00; I_i M_i | \frac{3}{4\pi} z e \frac{K}{C_L} \cdot A_{(aifL)} \cdot \sum_k Y_{L\mu}(\theta_k \varphi_k) | \alpha_{if} I_f, 00; I_f M_f \rangle$,

$$A_{(aifL)} = \frac{\hbar\omega_L}{2} \left(\frac{1}{\hbar\omega_L - (E_{\alpha_{0f}} - E_{\alpha_{0i}})} + \frac{1}{\hbar\omega_L - (E_{\alpha_{0i}} - E_{\alpha_{if}})} \right). \quad (10)$$

对初态的由粒子間相互作用引起的組态混合时，有类似的公式，只要把上式中的附碼适当地变一下就可以了。其余子矩陣元的 $A_{(aifL)}$ ，由于計算关系不大，不贅述了。

$B(L)$ 采取 (2) 式的形式，其方便之处在于集体跃迁算符被一个仅与球譜函数 $Y_{L\mu}(\theta_k \varphi_k)$ 有关而与声子算符无关的算符所代替。关于(2)式和混合系数 β 、 γ 等的計算，引用 Racah^[7] 約化矩陣元的方法，可以很简单地計算出来。在計算中，对径向部分积分，我們是用无限大核的貝塞尔解来处理的。

在計算中，我們发现，并不是所有的子矩陣元都作同数量級的貢獻。一般只要計算由核子間相互作用引起的組态混合[即(4)式中 B 項]就可以了。由表面振动引起的組态混合系数(β^2 或 γ)一般很小，可以忽略不計。

§ 3. 結果與分析

我們总共計算了六个电跃迁几率：三个电八极跃迁几率与三个电四极跃迁几率。它們分属于三个原子核： Bi^{208} 、 Pb^{206} 和 Pb^{205} 。現在把它們的計算特点和結果分別叙述如下。

3.1 Bi^{208} 的一个电八极跃迁几率

在实验给出的 Bi^{208} 的能谱中, 有一条能量为 1.430 Mev 的能级, 其半寿期为 2.3×10^{-3} 秒 [如图 1 (a) 所示], 经过连续两个跃迁而到达基态. Дже Лепов 认为它的中间能级或为 0.500 Mev, 或为 0.930 Mev. 在前一个工作^[3]中, 计算了 Bi^{208} 的能谱. 我们把理论能级 1.470 Mev [组态为 $(h_{9/2}i_{13/2}^{-1}; 10^{-1})$ 如图 1 (b) 所示] 解释为实验能级 1.430 Mev, 而把理论能级 0.83 Mev ($h_{9/2}f_{5/2}^{-1}; 7^{+}$) 解释为实验上没有十分肯定的能级¹⁾ 0.930 Mev.

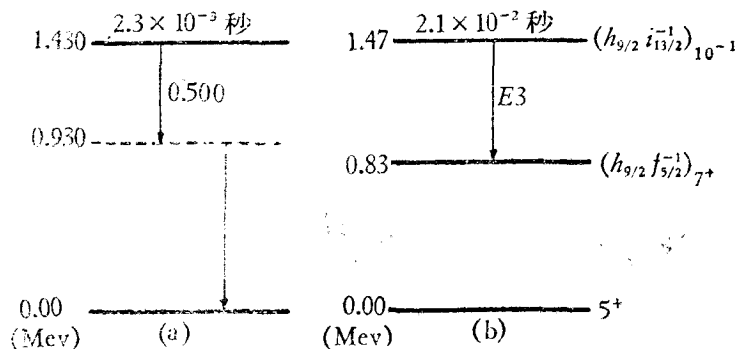


图 1 Bi^{208} 能谱的一部分(a)实验值;(b)理论值

显然, 从 1.470 Mev 到 0.830 Mev 的跃迁是电八极跃迁. 跃迁几率的理论计算结果是否与实验值符合, 对于上述解释之能否成立, 是会起重大鉴定作用的.

我们把可能混合进去的组态列于表 1 中.

表 1 $Bi^{208} \begin{matrix} (E3) \\ 10^{-} \rightarrow 7^{+} \end{matrix}$ 的初态和末态波函数

	$\psi_i (10^{-}, M_i)$	$\psi_f (7^{+} M_f)$
1	$ h_{9/2}i_{13/2}^{-1}, 00; 10 M_i\rangle$	$ h_{9/2}f_{5/2}^{-1}, 00; 7 M_f\rangle$
2		$B_1 h_{9/2}h_{9/2}^{-1}, 00; 7 M_f\rangle$
3		$B_2 h_{9/2}f_{7/2}^{-1}, 00; 7 M_f\rangle$
4		$B_3 i_{13/2}i_{13/2}^{-1}, 00; 7 M_f\rangle$
5	$\beta I_i h_{9/2}i_{13/2}^{-1}(I), 12; 10 M_i\rangle$	$\beta I_f h_{9/2}h_{9/2}^{-1}(I'), 12; 7 M_f\rangle$
6		$\gamma h_{9/2}h_{9/2}^{-1}, 00; 7 M_f\rangle$

表中第 1 行分别是初态、末态的零级波函数. 第 2、3、4 行是由于核子间的相互作用 v_{ki} 而混合进去的组态. 第 5 行是由于表面相互作用而混合进去的组态²⁾. 最后一行是零级波函数经过二次表面相互作用而混合进去的. B 、 β 和 γ 为相应组态的混合系数, 由(2)、(3)等式算出:

1) 在 10^{-} 以下, 没有其他与 10 接近的能级存在, 因为组态 $h_{9/2}i_{13/2}^{-1}$ 的最低能级是 10^{-} .

2) 在由表面振动引起的组态混合中, 我们考虑了二阶和三阶表面振动的作用.

$$T_{10^{-7} \rightarrow 7^+}^{(\text{Bi}^{208} E_3)} = 1.74 \times 10^2 \times E_7^2 \cdot A^2 \cdot B(L) = 300 \text{ 秒}^{-1},$$

从而求出能级 1.47 Mev 的半寿期:

$$\tau_{1/2} = \frac{\ln 2}{T(1 + \alpha)} = 2 \times 10^{-3} \text{ 秒},$$

这和实验值 2.1×10^{-3} 秒符合得很好。这里有必要交代一下, 计算中的参数是如何选择的: 原子核平均半径 $R_0 = 1.25 \times 10^{-13} A^{1/3}$ 厘米, 为了计算简单起见, 将核子间的相互作用选作 $\delta(\mathbf{r}_1 - \mathbf{r}_2)$ 力, $v_t = 1.5 v_s$, $v_s = -12\pi$, v_t, v_s 分别为三态、单态之位阱深度。这样选择的 v_t 和 v_s , 可以大致上给出正确的能谱。核子和核表面的相互作用参数 $K = 40$ Mev (以下同)。Bi²⁰⁸ 三阶硬度参数选用与 Pb²⁰⁸ 中所决定的一样的参数, 即 $C_3 = 350$ Mev, $\hbar\omega_3 = 2.6$ Mev。

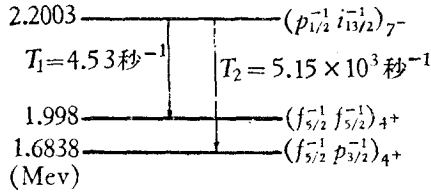
值得提出的一点是: 由微扰论所计算出来的混合系数 $B_1 = 0.37$, $B_2 = 0.037$, $B_3 = -0.025$, $\beta_{f_i}(10)$, $\beta_{f_f}(7) < 1/10$ 。B₁ 最大, 这就使能量为 0.83 Mev 的能级向下排开一些, 约排开 0.1 Mev 左右。跃迁几率的理论值与实验值之间有这样好的符合, 说明我们对能谱的解释是比较可靠的。

3.2 Pb²⁰⁶ 的两个电八极跃迁和一个电四极跃迁

(a) Pb²⁰⁶ 的两个电八极跃迁

在 Pb²⁰⁶ 的能级图中, 在实验上已经测量到了从能量为 2.2003 Mev 的 7⁻ 能级到能量为 1.998 Mev 的 4⁺, 以及另一条能量为 1.6838 Mev 的 4⁺ 能级的 E₃ 跃迁(图 2), 它们的电八极跃迁几率分别为 $T_1 = 4.53 \text{ 秒}^{-1}$ 和 $T_2 = 5.15 \times 10^3 \text{ 秒}^{-1}$ 。根据我们以前的工作, 它们的组态分别是 $(p_{1/2}^{-1} i_{13/2}^{-1})_{7^-}$, $(f_{5/2}^{-1} f_{5/2}^{-1})_{4^+}$ 和 $(f_{5/2}^{-1} p_{3/2}^{-1})_{4^+}$ 。我们的目的就是要计算一下这两个跃迁的绝对几率是否与此实验值相符。可能混合进去的组态列于表 2。

跃迁几率的计算结果如下:



$$T_{1 \ 7^- \rightarrow 4^+}^{(\text{Pb}^{206} E_3)} = 0.11 \text{ 秒}^{-1},$$

$$T_{2 \ 7^- \rightarrow 4^+}^{(\text{Pb}^{206} E_3)} = 206 \text{ 秒}^{-1}.$$

与实验值相比, 分别有 20 倍与 40 倍之差, 这是一个符合得不好的例子。但在理论跃迁几率的相对比值上与实验值还比较接近。这一问题目前还不清楚。

图 2 Pb²⁰⁶ 的两个 E₃ 跃迁

目前还不清楚。

这里附带指出, 在表 2 中的各种组态中, 只有 $(p_{1/2}^{-1} i_{13/2}^{-1})_{7^-}$ 至 $B'_1(p_{1/2}^{-1} f_{5/2}^{-1})_{4^+}$ 和 $B'_5(p_{1/2}^{-1} h_{7/2}^{-1})_{4^+}$ 两个跃迁占主要地位, 其他组态则小到完全可以不计。在计算中, 我们把 $(f_{5/2}^{-1} f_{5/2}^{-1})_{4^+}$ 与 $(f_{5/2}^{-1} p_{3/2}^{-1})_{4^+}$ 进行了组态混合, 则末态的零级波函数为

$$a(f_{5/2}^{-1} f_{5/2}^{-1})_{4^+} + b(f_{5/2}^{-1} p_{3/2}^{-1})_{4^+},$$

其中 a, b 为由变分法定出的混合系数。

$$\text{对于 } T_1: a_1 = 0.88, b_1 = -0.475, B'_{11} = 0.028, B'_{51} = -0.032;$$

$$\text{对于 } T_2: a_2 = 0.475, b_2 = 0.88, B'_{12} = -0.041, B'_{52} = 0.028.$$

(b) Pb²⁰⁶ 的电四极跃迁

在实验给出的 Pb²⁰⁶ 能谱中, 有一条能级: 0.803 Mev, 2⁺ (图 3)。在以前的工作^[2]

表 2 $Pb^{208} (E_3)_{7^- \rightarrow 4^+}$ 的初态和末态波函数

$\psi_i(7^-, M_i)$	$\psi_f(4^+, M_f)$
$ p_{1/2}^{-1} i_{13/2}^{-1}, 00; 7M_i\rangle$	$a (f_{5/2}^{-2})_{4^+}, 00; 4M_f\rangle + b (f_{5/2}^{-1} p_{3/2}^{-1})_{4^+}, 00; 4M_f\rangle$
$B_1 p_{3/2}^{-1} i_{13/2}^{-1}, 00; 7M_i\rangle$	$B_1' f_{13/2}^{-1} i_{13/2}^{-1}, 00; 4M_f\rangle$
$B_2 f_{5/2}^{-1} i_{13/2}^{-1}, 00; 7M_i\rangle$	$B_2' f_{7/2}^{-1} f_{7/2}^{-1}, 00; 4M_f\rangle$
$B_3 f_{7/2}^{-1} i_{13/2}^{-1}, 00; 7M_i\rangle$	$B_3' h_{9/2}^{-1} h_{9/2}^{-1}, 00; 4M_f\rangle$
$B_4 h_{9/2}^{-1} i_{13/2}^{-1}, 00; 7M_i\rangle$	$B_4' p_{1/2}^{-1} f_{7/2}^{-1}, 00; 4M_f\rangle$
	$B_5' p_{1/2}^{-1} h_{9/2}^{-1}, 00; 4M_f\rangle$
	$B_6' p_{3/2}^{-1} f_{7/2}^{-1}, 00; 4M_f\rangle$
	$B_7' p_{3/2}^{-1} h_{9/2}^{-1}, 00; 4M_f\rangle$
	$B_8' f_{5/2}^{-1} f_{7/2}^{-1}, 00; 4M_f\rangle$
	$B_9' f_{5/2}^{-1} h_{9/2}^{-1}, 00; 4M_f\rangle$
	$B_{10}' f_{7/2}^{-1} h_{9/2}^{-1}, 00; 4M_f\rangle$
$\beta_1 p_{1/2}^{-1} i_{13/2}^{-1}(J), 12; 7M_i\rangle$	$\beta_1' p_{1/2}^{-1} f_{5/2}^{-1}(J'), 12; 4M_f\rangle$
$\beta_2 p_{3/2}^{-1} i_{13/2}^{-1}(J), 12; 7M_i\rangle$	$\beta_2' f_{5/2}^{-1} f_{7/2}^{-1}(J'), 12; 4M_f\rangle$
$\beta_3 f_{5/2}^{-1} i_{13/2}^{-1}(J), 12; 7M_i\rangle$	$\beta_3' f_{5/2}^{-1} h_{9/2}^{-1}(J'), 12; 4M_f\rangle$
$\beta_4 h_{9/2}^{-1} i_{13/2}^{-1}(J), 12; 7M_i\rangle$	$\beta_4' p_{1/2}^{-1} p_{3/2}^{-1}(J'), 12; 4M_f\rangle$
$\beta_5 p_{1/2}^{-1} f_{7/2}^{-1}(J), 13; 7M_i\rangle$	$\beta_5' p_{3/2}^{-1} p_{3/2}^{-1}(J'), 12; 4M_f\rangle$
$\beta_6 p_{1/2}^{-1} h_{9/2}^{-1}(J), 13; 7M_i\rangle$	$\beta_6' p_{3/2}^{-1} f_{7/2}^{-1}(J'), 12; 4M_f\rangle$
	$\beta_7' p_{3/2}^{-1} h_{9/2}^{-1}(J'), 12; 4M_f\rangle$
	$\gamma' p_{1/2}^{-1} h_{9/2}^{-1}(J'), 00; 4M_f\rangle$

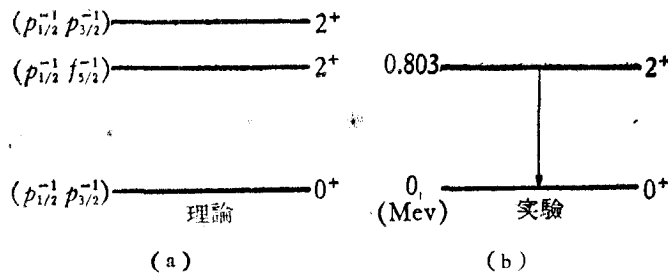


图 3 Pb^{208} 能谱的一部分(a)理论值; (b)实验值

中，理论有二条与它相近的能级 $(p_{1/2}^{-1} p_{3/2}^{-1})_{2^+}$ 和 $(p_{1/2}^{-1} f_{5/2}^{-1})_{2^+}$ 。我们是把这条实验能级用 $(p_{1/2}^{-1} f_{5/2}^{-1})_{2^+}$ 这一条来解释的。事实上，从理论能级图中可以看到，这二条 2^+ 能级靠得很近，所以波函数应该是这二个能级的组态混合的波函数，我们用变分方法来处理这二个态的组态混合，所得到的二组解分别是

$$\Psi_1 = 0.86 |p_{1/2}^{-1} f_{5/2}^{-1}; 00; 2^+ \rangle + 0.51 |p_{1/2}^{-1} p_{3/2}^{-1}; 00; 2^+ \rangle,$$

$$\Psi_2 = -0.51 |p_{1/2}^{-1} f_{5/2}^{-1}; 00; 2^+ \rangle + 0.86 |p_{1/2}^{-1} p_{3/2}^{-1}; 00; 2^+ \rangle.$$

經過組态混合后, Ψ_1 和 Ψ_2 排开很小, 約 0.05 Mev. 很幸运, 实验給出了从 0.803(2⁺) 到基态的跃迁几率. 这就使我們有可能从跃迁几率来判別到底实验上发现的是哪条能級.

考虑了組态混合, 計算中所用到的初态、末态波函数如表 3 所示.

表 3 $Pb^{206} (E2)_{g^+ \rightarrow 0^+}$ 的初态和末态波函数

$\psi_i(2^+, M_i)$	$\psi_f(0^+, M_f)$
$a p_{1/2}^{-1} f_{5/2}^{-1}\rangle, 2^+, 00; 2M_i \rangle + b p_{1/2}^{-1} p_{3/2}^{-1}\rangle, 2^+, 00; 2M_i \rangle$	$ p_{1/2}^{-1} p_{1/2}^{-1}, 00; 0 \rangle$

假定我們认为实验能級 0.803 Mev (2⁺) 是 Ψ_1 的話, 再假設 $C_2 = 1000$ Mev, 則算出来的跃迁几率为

$$T_{2^+ \rightarrow 0^+}^{(Pb^{206} E_2)} = 8.1 \times 10^{10} \text{ 秒}^{-1},$$

这个結果与实验符合得很好.

假設我們认为实验能級 0.803 Mev (2⁺) 是 Ψ_2 , 那末为了要得到与理論符合的結果, 必然要假設 $C_2 \sim 200$ Mev. 从 Pb^{208} 及其他一些原子核中的 E_2, E_3 跃迁几率所定出的参数 C 来看, $C_2 \sim 200$ Mev 太小了. 选 $C_2 = 1000$ Mev 是較合理的, 与其他的核中 E_2 跃迁所定出的 C_2 也接近. 因此, 实验上所发现的能級可能是 Ψ_1 . 至于 Ψ_2 那条能級为什么会沒有被观察到呢? 我們計算了一下, 2⁺ 上面的那条 $(p_{1/2}^{-1} f_{5/2}^{-1})_{3^+}$ 到 Ψ_1 和 Ψ_2 的 $M1$ 跃迁的比值:

$$\frac{(p_{1/2}^{-1} f_{5/2}^{-1})_{3^+} \rightarrow \Psi_1 \text{ 的 } M1 \text{ 跃迁}}{(p_{1/2}^{-1} f_{5/2}^{-1})_{3^+} \rightarrow \Psi_2 \text{ 的 } M1 \text{ 跃迁}} = 15.$$

这大概就是为什么沒有观察到 Ψ_2 的那条 2⁺ 能級的原因.

3.3 Pb^{205} 的两个电四极跃迁

(a) 在理論上^[2, 8] 給出的 Pb^{205} 的能譜中 (图 4), 有一条能量为 0.03 Mev 組态为 $(p_{1/2}^{-1} f_{5/2}^{-1})_{(1/2)^-}$ 的能級, 实验上未观察到; 由 Pb^{205} 的能級图中可以看到, 看来要发现这条能級最可能的是来自能量为 0.975 Mev、組态为 $(p_{1/2}^{-1} f_{5/2}^{-1} p_{3/2}^{-1})_{(5/2)^-}$ 的能級的跃进. 在这里, 我們計算了由 $(5/2)^- \rightarrow (1/2)^-$ 的 E_2 跃迁. 計算的結果是

$$T_{(5/2)^- \rightarrow (1/2)^-}^{(Pb^{205} E_2)} = 2.63 \times 10^{10} \text{ 秒}^{-1}.$$

与这个 $(5/2)^-$ 到基态 $(5/2)^-$ 的 $M1$ 跃迁几率 $2.7 \times 10^{12} \text{ 秒}^{-1}$ 相比要小得多, 所以这条能級在实验上难以观察到.

(b) 在 Pb^{205} 的能譜分析中^[2], 在理論上有一条能量为 0.811 Mev、組态为 $(p_{1/2}^{-1} f_{5/2}^{-1})_{(3/2)^-}$ 的能級未被观察到. 从能級图中可以看到, 要发现这条能級最可能的是通过能量为 1.732 Mev 的 $(f_{5/2}^{-1} p_{3/2}^{-1})_{(7/2)^-}$ 能級及能量为 1.912 Mev 的 $(p_{1/2}^{-1} f_{5/2}^{-1})_{(7/2)^-}$ 能級到这条能級的 E_2 跃迁. 但是从它們到能級 0.811 Mev $(p_{1/2}^{-1} f_{5/2}^{-1})_{(3/2)^-}$ 的 E_2 跃迁, 实验上未观察到. 我們必須定量地估計一下, 以作进一步解释. 这二条能級还是靠得很近, 我們用变分法考虑了它們之間

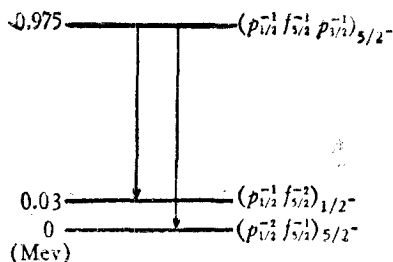


图 4

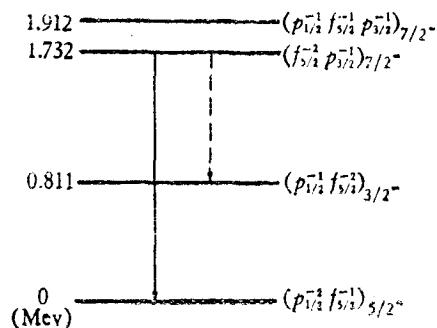


图 5

的组态混合, 组态混合的结果是

$$\Psi_1 = 0.99 \psi \left(f_{5/2}^{-2} p_{3/2}^{-1}; \frac{7}{2} M \right) + 0.12 \psi \left(p_{1/2}^{-1} f_{5/2}^{-1} p_{3/2}^{-1}; \frac{7}{2} M \right),$$

$$\Psi_2 = 0.345 \psi \left(f_{5/2}^{-2} p_{3/2}^{-1}; \frac{7}{2} M \right) + 0.933 \psi \left(p_{1/2}^{-1} f_{5/2}^{-1} p_{3/2}^{-1}; \frac{7}{2} M \right).$$

我們計算了 Ψ_1 到 $(p_{1/2}^{-1} f_{5/2}^{-1})_{3/2}^{-}$ 的跃迁, 計算的結果如下:

$$T_{7/2^- \rightarrow 3/2^-}^{(\text{Pb}^{208} E_2)} = 3.9 \times 10^{10} \text{ 秒}^{-1}.$$

与这个 $(7/2)^-$ 到基态 $(5/2)^-$ 的 $M1$ 跃迁几率相比要小約 100 倍, Ψ_2 到 $(p_{1/2}^{-1} f_{5/2}^{-1})_{(3/2)^-}$ 的跃迁几率大致也差不多, 这就解释了实验上难以观察到 $(3/2)^-$ 这条能级的原因.

§ 4. 小 結

在我們的工作中, 除 Pb^{206} 中的二个 E_3 跃迁以外, 大致都得到与实验相符的结果, 但是由于可调节的参数多, 尤其是 $C_2, C_3, \hbar\omega_2, \hbar\omega_3$, 在重核区域里, 不論在实验上或理論上知道得都不多, 因而想要得出肯定的結論是困难的. 不过在此工作中可以看到: (1) 在計算跃迁几率的时候, 组态混合必須考虑, 否則便不能与实验相符. (2) 对中子电跃迁来說, 在双满壳层 Pb^{208} 附近的原子核, 表面振动对跃迁起了重要作用. (3) 在我們的計算中看出, 由核力引起的组态混合中, 其混合系数比粒子——表面振动相互作用引起组态混合的二次微扰系数(即 γ)要大很多. (4) 在 Pb^{208} 附近这几个原子核里(包括文献[4]中对 Pb^{208} 和 Bi^{207} 的一些討論)可以看到, 我們采用了同一个 C_2 值和同一个 C_3 值($C_2 = 1000$ Mev, $C_3 = 350$ Mev), 并且得到了大致与实验符合的结果, 并没有什么显著的矛盾. 从这些所选用的 C 值可以看出, 对于 Pb^{208} 附近的原子核, C 值变化不大. 又 C_2 比 C_3 大很多, 說明了在 Pb^{208} 附近的核, 其三阶表面振动比二阶表面振动的激发要来得容易. 这样一个結論是支持 Lane^[9] 的說法的. 并且 C_2, C_3 的数值与 Lane 所說的数值也大致差不多.

計算組的同志完成了本文的大量計算工作.

参 考 文 献

- [1] 于敏、张宗燾、余友文、物理学报, **15** (1959), 397.
- [2] 喻传赞、胡堂视、陈晓天、余友文、张宗燾、于敏, 关于 Pb^{208} 附近原子核的能谱(I)—— Pb^{205} , Pb^{204} , 本期物理学报, 第1页.
- [3] 黄唯志、梁春田、周光文、余友文、张宗燾、于敏, 关于 Pb^{208} 附近原子核的能谱(II)—— Pb^{208} , Bi^{207} , 本期物理学报, 第11页.
- [4] 任庚未、周光文、余友文、张宗燾、于敏, 关于 Pb^{208} 附近原子核的能谱(III)—— Pb^{208} , Tl^{208} , 本期物理学报, 第25页.
- [5] A. Bohr and B. R. Mottelson, *Dan. Mat. Fys. Medd.*, **27**, No. 16 (1953).
- [6] A. Bohr, *Dan. Mat. Fys. Med.*, **26**, No. 14 (1952).
- [7] G. Racah, *Phy. Rev.* **62** (1942), 438; *Phy. Rev.* **63** (1943), 367.
- [8] 黄唯志、喻传赞、高琴、张宗燾、于敏, 关于 Pb^{208} 附近原子核的 γ 跃迁(II)—— $M1$ 跃迁, 本期物理学报, 第45页.
- [9] Lane, *Comptes Rendus du Congrès International de physique nucléaire* (1958).

 γ ПЕРЕХОД ЯДЕР ВБЛИЗИ Pb^{208} (I) — E_2 и E_3

Лин Чун-тянь Ху Тан-ши Чэн Сяо-тянь Юй Ю-вэн Юй Минь

(Институт Атомных Энергий АН КНР)

Резюме

При помощи метода конфигурации и ядерной поверхностной осцилляции вычислили некоторую вероятность перехода. При таком выборе параметров $C_2 \sim 1000$ Mev, $C_3 = 350$ Mev, $\hbar\omega_3 = 2.6$ Mev, $\hbar\omega_2 = 5$ Mev, Результат с экспериментом хорошо совпадает за исключением двух переходов E_3 Pb^{205} . Поэтому можно сказать конфигурация главным образом вызвана остаточным взаимодействием. А конфигурация жесткость и частота определяют вероятность перехода E_2 и E_3 .